

風洞の乱流境界層における拡散

神戸大学 正員 篠 肇

風洞内の乱流境界層における拡散実験は大気拡散の研究のためしばしば行われている。限られた長さの風洞内に乱流境界層を効果的に発生させるには種々の方法があるが、以下粗い面を風洞内に設立して、その上に乱流境界層を得て拡散の実験を行つた。

仮説的な考え方として粗面を平均流の運動量を吸収する吸源が分布したものと考えると、乱流境界層における缺損運動量は吸源個数により一様流から吸収された運動量の集積したものであると見らせる。簡単のため二次元(x, z)乱流境界層を考え、境界層の始点より風下端までの距離の間にたりに各の吸源が分布するものとしてこの粗面を表示出来るものとすれば、 \bar{U}_n^2 における乱流境界層の缺損運動量(\bar{U}_n^2)は、従つて

$$(1) \quad \rho(\bar{U}_n^2) = \sum_i \rho(U_{i,i}^2) \quad \text{となる。}$$

但し(1)式において $\bar{U}(U_{i,i}^2)$ は i 番目の吸源により吸収された運動量である。今極端な例として巨離 x を考慮するが、 i が短くとつたとすれば、この場合吸源は少ないと考えるが、 i が離れてあるとすれば、この場合吸源は多く考える。従つて、 \bar{U}_n^2 における乱流境界層の缺損運動量は单一な物体後方に生じる後流のものと一値しなければならぬ。

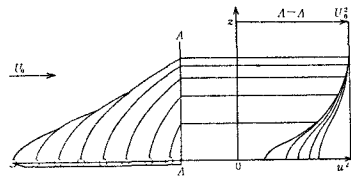


図-1 粗面等価吸源

$$(2) \quad U_{i,i} = U_{i,i} \max \cdot f[b_{i,i}(x), z] \quad \text{で表わされるとする。}$$

$$(3) \quad U_{i,i} \max = U_i C_i F(x)$$

$$(4) \quad C_i F(0^+) = 1 ; \quad f[b_{i,i}(x), 0] = 1$$

(2)式は後流の速度分布を表わすものである。速度 U_i は i 番目の吸源に作用する流速である。(2)式を(1)式に代入することによつて

$$(5) \quad (\bar{U}_n^2) = \sum_i (U_i C_i F(x-i)) \cdot f^2 \quad \text{となる。}$$

次に下吸源は簡単のため等間隔で並んでいるものとする。吸源直後においては風速は零故 $[\bar{U}_n(MA+o^+, 0)]^2 = U_0^2$ となり、又(5)式より $[\bar{U}_n(MA+o^+)]^2 = \frac{1}{\delta} [U_i C_i F(\sqrt{-i})]^2$ となる。従つて i 番目の吸源に作用する U_i は初期条件 U_0 が与えられることがわかる。

$$(6) \quad U_0^2 = \sum_i [U_i C_i F(\sqrt{-i})]^2 \quad \text{より求めらる。}$$

厳密には常数 C_i は U_i に強く関係してあり、一定ではないが、 i は U_i に無関係に一定としている。缺損運動量が粗面より上方に拡がる中 $\tilde{b}_{i,i}$ は i ににおける垂直方向の速度変動 $\tilde{w}_{i,\max}^2$ 比例する、すなわち $\frac{d}{dx}(\tilde{b}_{i,i}) \propto [\tilde{w}_{i,\max}^2]$ と考えられる。 i に $\tilde{b}_{i,i}$ は i の吸源により生じた缺損運動量が重なつた部分の高さであり、 $\tilde{w}_{i,\max}^2 = \sum_i \tilde{w}_{i,\max}^2$ である。 $\tilde{w}_{i,\max}^2 \propto \bar{U}_n^2 \propto U_{i,i}^2$ である。又、 $\frac{d}{dx} = U_0 \frac{d}{dx}$ と考へれば、

$$(7) \quad \tilde{b}_{i,i} \propto U_0 \int \tilde{U}_{i,\max} dx \quad \text{となる。}$$

乱流拡散係数 $K_i = \bar{w}^2$ は w' に相当するものとして $\tilde{U}_{i,\max}$ を考え、 w' に相当するものとして $\tilde{b}_{i,i}$ を取れば、

$$(8) \quad K_i = \text{const. } \tilde{U}_{i,\max} \cdot \tilde{b}_{i,i} \quad \text{で与えられる。}$$

これら(5),(8)式から粗面上における平均風速分布と拡散係数が求められる。(2),(3)式として既に得られている円柱後流の式を用いて數値的に上記の計算を行なうと、図-2,3に示す結果が得られる。

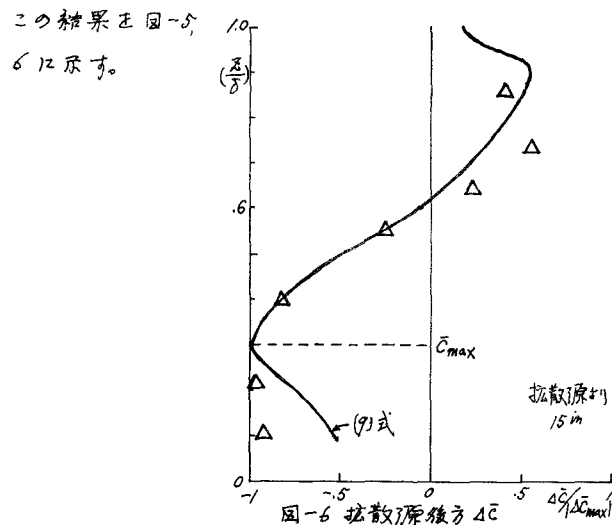
上記の考え方の基本となる7)の缺損運動量の重ね合せについては同一直径の円柱を種々の間隔下並べて風洞内に配置し実験を行つて確認した。その結果の一例を図-4に示す。

このようにして求めた平均流速分布と拡散係数により拡散物質の濃度分布を調べることとする。運動量と物質に関する拡散係数は相似であるとする。拡散方程式を差分形式に変えて、

$$(9) \Delta \bar{C}(x,z) = \bar{C}(x+\Delta x, z) - \bar{C}(x, z) = \frac{\Delta x}{\lambda(z)(\Delta z)} [K(x+\Delta x)[\bar{C}(x+\Delta x, z) - \bar{C}(x, z)] \\ - K(z)[\bar{C}(x, z) - \bar{C}(x-\Delta x, z)]]$$

すると、この式から $|\Delta C|$ は K に比例し、平均流速 \bar{U} に逆比例する。

乱流境界層が始まる始点附近においては本文の初めに述べた考え方には従来の後流的な性質を有するため K は近似的に一定と見なされ、それに対して以上の高さ方向の勾配は大である。したがつて $|\Delta C|$ は粗面に近づくほど大であり上部ほど小となる。粗面附近に拡散物質の濃度の最大の実測があるところでは、下では $\Delta \bar{C}$ は負であるが、下流方向に濃度の最大値は上方に移動することになる。乱流境界層が充分発達した下流においては K, \bar{U} とも高さ方向に増加する勾配となり、単純に上記のようなく考案は出来ないが、(9)式を数値的に解けば、拡散源の近くでは最大濃度の実測は下流方向に高さを減じ、拡散源から充分離れた所ではその高さに変化はない。



II-3-2

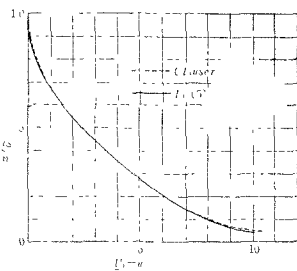


図-2 平均風速分布

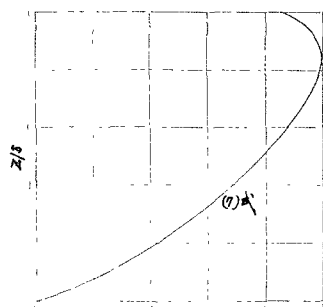


図-3 乱流流速分布

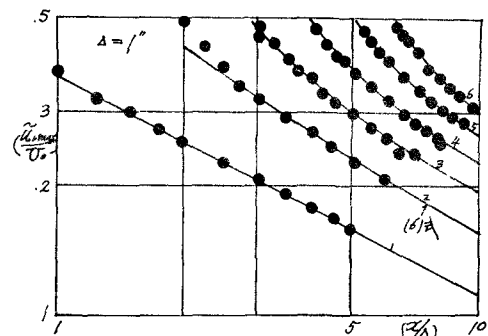


図-4 重ね合せ後流速

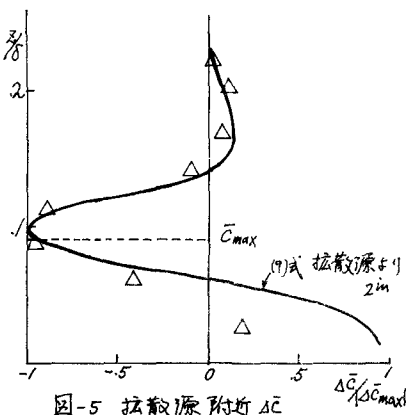


図-5 拡散源附近濃度